

## Решение прикладных технических задач методом имитационного моделирования

© В.П. Строгалев, И.О. Толкачева

МГТУ им. Н.Э. Баумана, Москва, 105005, Россия

*Рассмотрены достоинства и особенности применения одного из наиболее распространенных методов исследования операций — имитационного моделирования. Приводятся реальные примеры имитационных моделей, иллюстрирующие порядок их построения, структуру и интерпретацию полученных результатов.*

**Ключевые слова:** имитационное моделирование, математическая статистика, проектирование, компьютер, машинный эксперимент, метод Монте-Карло.

Термин «имитационное моделирование» до сих пор вызывает спор среди специалистов, поскольку само сочетание слов «имитация» и «моделирование» представляется тавтологией. Однако, рассматривая исторический процесс формирования данного термина, можно прийти к выводу, что это словосочетание определяет в моделировании область, относящуюся к получению информации о сложном объекте, которая не может быть получена иным путем, кроме как в процессе эксперимента с его имитацией (моделью) на ЭВМ [1].

В данной статье под имитационной моделью мы будем понимать модель, отвечающую требованиям, выдвинутому основоположником науки об имитационном моделировании Р. Шенноном [2], одним из которых является наличие стохастичности, определяемой исходной экспериментальной информацией и подвергающейся статистической обработке. Для реализации этой модели необходимо наличие быстродействующего компьютера, обеспечивающего сам процесс моделирования.

Таким образом, имитационная модель — это эксперимент, подверженный ошибкам измерения и реализуемый на быстродействующей ЭВМ.

При создании имитационной модели любой исследуемой системы необходимо, как правило, реализовать три основных этапа:

- сбор и обработка статистического материала для описания поведения системы;
- выдвижение и подтверждение статистических гипотез, которые могут объяснить наблюдаемое поведение;
- использование этих гипотез для предсказания будущего поведения системы.

Имитационное моделирование может применяться в самых различных сферах деятельности, но наиболее эффективно оно используется при решении задач двух основных типов [3].

1. Теоретические задачи в таких областях науки, как математика, физика, химия и т. д. Среди этих задач отметим следующие:

- вычисление кратных интегралов;
- обращение матриц;
- вычисление различных констант, таких как  $\pi$ ,  $e$  и т. д.
- решение задач для уравнений в частных производных;
- анализ диффузии частиц и нахождение пространственных траекторий их движения.

2. Практические задачи организационного управления, возникающие в различных отраслях человеческой деятельности. Примерами подобных задач являются:

- проектирование и анализ производственных систем;
- оценка различных систем вооружений и выявление требований к их материально-техническому обеспечению;
- определение требований к оборудованию и протоколам сетей связи;
- определение требований к оборудованию и программному обеспечению различных компьютерных систем;
- проектирование и анализ работы транспортных систем, например аэропортов, автомагистралей, портов и метрополитена;
- оценка проектов создания различных организаций массового обслуживания, например центров обработки заказов, заведений быстрого питания, больниц, отделений связи;
- анализ финансовых и экономических систем и др.

Оценивая целесообразность применения метода имитационного моделирования для исследования конкретной системы, необходимо учитывать его очевидные достоинства и недостатки. Этот метод, как правило, используется при наличии одного из следующих условий:

- не существует законченной математической постановки либо не разработаны аналитические методы решения сформулированной математической модели (модели массового обслуживания, военно-технические задачи и т. д.);
- аналитические методы имеются, но математические процедуры столь сложны и трудоемки, что имитационное моделирование дает более простой способ решения задачи;
- невозможность использования имеющихся аналитических решений ввиду слабой подготовки технического персонала;
- представляет интерес наблюдение за ходом процесса во времени, а не только оценка выходных характеристик;

- имитационное моделирование может оказаться единственной возможностью вследствие трудностей постановки экспериментов и наблюдения за явлениями в реальных условиях (космос, стратегические оборонные инициативы и проч.);

- сжатие временной шкалы исследуемого процесса (анализ процесса старения городов).

Дополнительным преимуществом имитационного моделирования можно считать широчайшие возможности его применения в сфере образования и профессиональной подготовки. Разработка и использование имитационной модели позволяет экспериментатору видеть и «разыгрывать» на модели реальные процессы и ситуации. В свою очередь, это должно в значительной мере помочь ему понять и прочувствовать проблему, что стимулирует процесс поиска нововведений.

Идея имитационного моделирования интуитивно привлекательна и для руководителей, и для исследователей систем благодаря своей простоте. Поэтому данный метод стремятся применять для решения каждой задачи, с которой приходится сталкиваться. И хотя людям с высокой математической подготовкой имитационный подход представляется грубым силовым приемом или последним средством, к которому следует прибегать, неопровержимый факт свидетельствует о том, что этот метод является самым распространенным инструментом в руках ученого, погруженного в проблемы управления и исследования операций (частота использования из всех методов исследования операций свыше 30 %).

Чтобы глубже проникнуть в суть разработки имитационной модели, рассмотрим простейший пример определения вероятности выпадения «орла» при подбрасывании монеты. На основе использования определения искомой вероятности как отношения числа благоприятных исходов к общему числу исходов получим, что вероятность выпадения «орла»

$P_0 = \frac{1}{2}$ . Такой подход в соответствии с классификацией различных способов исследования систем можно назвать аналитическим решением соответствующей математической модели.

Построение имитационной модели начинается с подготовки исходных данных, которая заключается в подбрасывании монеты большое число раз и фиксировании числа удачных попыток выпадения «орла» (эксперимент с реальной системой). Отношение числа удачных попыток к общему числу подбрасываний при неограниченном числе подбрасываний позволяет найти закон распределения случайной величины выпадение «орла».

Чтобы не бросать монету самим, воспользуемся результатами французского естествоиспытателя XVIII в. Ж. Бюффона, который при 4 040 бросаниях монеты ( $n = 4\ 040$ ) получил 2 048 выпадений «орла»

( $n_1 = 2\,048$ ) и  $1\,992$  выпадений «решки» ( $n_2 = 1\,992$ ). Совместимо ли это с гипотезой о том, что вероятность выпадения «орла» при одном бросании равна  $\frac{1}{2}$ ?

Из математической статистики известно [3], что наиболее распространенным критерием подтверждения непараметрических гипотез (гипотеза  $H_0$ : выпадение «орла» и «решки» равновероятны) является критерий согласия Пирсона  $\chi^2$  («хи-квадрат»).

При использовании  $\chi^2$ -критерия вся область изменения генеральной совокупности делится на  $k$  интервалов, которые могут иметь различную длину. По выборке составляют вариационный ряд по этим же интервалам.

По выборке вычисляют оценки параметров теоретического распределения и на его основе вычисляют вероятность  $P_i$  того, что случайная величина принимает значение из  $i$ -го интервала, при этом  $\sum_{i=1}^k P_i = 1$ . Теоретические частоты находятся в виде  $m_i = nP_i$ .

Гипотеза  $H_0$  верна, если теоретические и эмпирические частоты  $m_i$  и  $n_i$  достаточно мало отличаются друг от друга. Для проверки гипотезы  $H_0$  используется статистика  $\chi^2 = \sum_{i=1}^k \frac{(n_i - m_i)^2}{m_i}$ , которая имеет  $\chi^2$ -распределение с числом степеней свободы  $\nu = k - r - 1$ , где  $r$  — количество параметров теоретического распределения, оценки которых вычислялись по выборке.

Полученное значение статистики сравнивается с табличным значением  $\chi^2$ -критерия на уровне доверительной вероятности  $(1 - \alpha)$  и при превышении этого значения  $\chi^2$  гипотеза  $H_0$  отвергается.

Для нашего примера  $n = 4\,040$ ;  $k = 2$ ;  $n_1 = 2\,048$ ;  $n_2 = 1\,992$ ;  $P_1 = P_2 = 0,5$ ;  $\nu = k - 1 = 1$  и при  $\alpha = 0,05$  находим из таблиц  $\chi_{0,05}^2(1) = 3,841$ .

Проверим гипотезу  $H_0$  о том, что вероятности выпадения «орла» и «решки» равны  $\frac{1}{2}$ . Имеем

$$\chi^2 = \frac{2\,048 - 4\,040 \cdot 0,5}{4\,040 \cdot 0,5} + \frac{1\,992 - 4\,040 \cdot 0,5}{4\,040 \cdot 0,5} = 0,776.$$

Поскольку  $0,776 < 3,841$ , статистические данные не противоречат гипотезе  $H_0$ .

Используя на компьютере датчик случайных чисел, распределенных по равномерному закону, и имитируя таким образом подбрасывание монеты, получим при достаточно большом числе попыток величину искомой вероятности, близкую к  $0,5$ . Если случайное число меньше  $0,5$ , выпадает «орел», больше  $0,5$  — «решка». Вероятность выпадения

«орла» рассчитывается как отношение числа выпавших «орлов» к общему числу испытаний  $N$ .

Число реализаций имитационной модели может быть определено для заданной погрешности конечного результата и заданной доверительной вероятности по формуле [3]  $N = \frac{Z_{\alpha/2}^2}{4\varepsilon^2}$ , где  $Z_{\alpha/2}$  — нормальная статистика уровня  $\alpha/2$ ;  $\varepsilon$  — погрешность конечного результата. Именно такой подход, несмотря на его простоту, и называется имитационным моделированием.

В качестве следующего примера построения имитационной модели рассмотрим процесс функционирования небольшого магазина подарков (так называемая однолинейная система массового обслуживания с одним устройством обслуживания).

Предположим, что промежутки времени между последовательными появлениями покупателей распределены равномерно в интервале от 1 до 10 мин, а время, необходимое для обслуживания каждого покупателя, распределяется равномерно в интервале от 1 до 6 мин (эти данные были получены соответствующим хронометражем с дальнейшим подтверждением адекватности принятых гипотез). Нас интересует среднее время пребывания покупателя в очереди, среднее время пребывания покупателя в магазине, средняя длина очереди, а также процент времени, в течение которого продавец, стоящий на контроле, не загружен работой.

Для моделирования системы необходимо придумать способ имитации последовательности прибытия покупателей и времени, необходимого для обслуживания каждого из них. Один из способов, который мы могли бы применить, состоит в том, чтобы взять десять фишек с цифрами от 1 до 10 и один игральный кубик. Положим фишки в шляпу и тщательно ее встряхнем. Вытягивая фишку из шляпы и считывая выпавшее число, мы моделируем промежутки времени между появлением предыдущего и последующих покупателей. Бросая кубик и считывая с его верхней грани выпавшее число очков, мы определяем время обслуживания каждого покупателя. Повторяя эти операции в указанной последовательности (возвращая каждый раз фишки обратно и встряхивая шляпу перед каждым вытягиванием), мы получим временные ряды, представляющие промежутки времени между последовательными прибытиями покупателей и соответствующие им времена обслуживания. В табл. 1 представлены результаты, полученные при анализе прибытия 20 покупателей.

В результате обработки «экспериментальных» данных получаем, что время пребывания покупателя в магазине  $t_{\text{мар}} = \frac{68}{20} = 4$  мин, а процент времени простоя продавца  $t_{\text{п}} = \frac{55}{55+63} 100\% = 47\%$ .

Таблица 1

## Исходные данные к модели функционирования магазина, мин

Покупатель	Время после прибытия предыдущего покупателя	Время обслуживания	Время нахождения покупателя у прилавка	Время простоя продавца в ожидании покупателя
1	—	1	1	0
2	3	4	4	2
3	7	4	4	3
4	3	2	3	0
5	9	1	1	6
6	10	5	5	9
7	6	4	4	1
8	8	6	6	4
9	8	1	1	2
10	8	3	3	7
11	7	5	5	4
12	3	5	7	0
13	8	3	3	1
14	4	6	6	1
15	4	1	3	0
16	7	1	1	4
17	1	6	6	0
18	6	1	1	0
19	7	2	2	6
20	6	2	2	5
Всего	—	63	68	55

Очевидно, что для получения статистической значимости результатов необходимо иметь более представительную выборку (хотя бы за день работы магазина), учесть ряд привходящих нюансов, таких как начальные условия работы магазина и т. д. Вместе с тем приведенный пример носит методический характер. Размер выборки можно определить, как и в предыдущем случае.

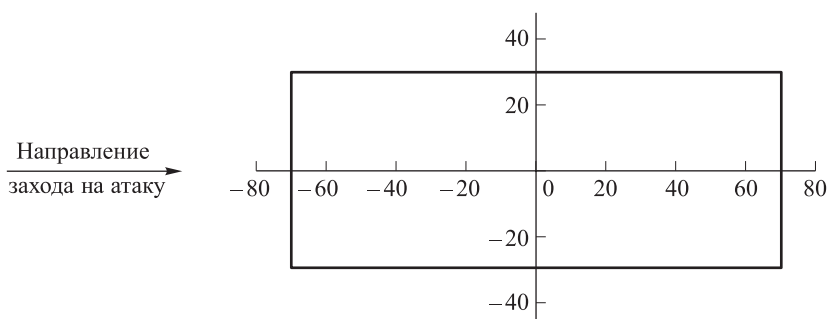
Рассмотрим теперь решение задач военно-стратегического характера и прежде всего разработку имитационной модели бомбардировки промышленного предприятия.

Предлагаемая модель имитирует поведение бомбардировщика, посланного атаковать важное промышленное предприятие ракетами класса «воздух—земля». Каждая ракета наводится индивидуально. Размеры предприятия составляют, м:  $a = 150$ ,  $b = 60$ . Точка прицеливания — геометрический центр цели, при попадании в цель она считается пораженной.

Для расстояния, с которого запускаются ракеты, оба отклонения независимы, нормально распределены относительно точки прицеливания и имеют нулевое среднее значение. Среднеквадратические отклонения, м: по дальности  $\sigma_x = 60$  и боковому направлению  $\sigma_y = 120$ . При каждом заходе бомбардировщик выпускает шесть ракет ( $n = 6$ ). Необходимо оценить среднее число попаданий при каждой атаке.

В данном случае возможны несколько вариантов захода на атаку бомбардировщика, связанных с взаимным расположением предприятия и атакующего самолета. При этом задача может быть решена аналитическим методом (с использованием таблиц функций Лапласа) и методом Монте-Карло. Для случаев заходов на атаку самолета с направлений, совпадающих с направлениями продольной или поперечной осей симметрии предприятия, решение легко получить аналитически, тогда как для остальных случаев такое решение получается громоздким, и аналитический подход себя не оправдывает. Методом Монте-Карло задача может быть решена для любого направления захода на атаку с практически одинаковыми трудозатратами, что является в данном случае очевидным преимуществом метода, а аналитический подход может использоваться для проверки результатов частных случаев реализации метода Монте-Карло.

Рассмотрим в первую очередь теоретическое решение для случая захода самолета на атаку вдоль продольного направления (рис. 1).



**Рис. 1.** Схема бомбардировки промышленного объекта

Используя формулы [3] для определения вероятности попадания в площадь цели, имеем

$$P_1 = \left\{ 2F_0 \left( \frac{a}{2\sigma_x} \right) - 1 \right\} \left\{ 2F_0 \left( \frac{b}{2\sigma_y} \right) - 1 \right\} = 0,788 \cdot 0,682 = 0,538,$$

где  $F_0$  — стандартная функция нормального распределения.

Тогда среднее число попаданий за одну атаку

$$M_1 = nP_1 = 6 \cdot 0,538 = 3,23.$$

Аналогично для случая атаки вдоль поперечной оси имеем

$$P_2 = 0,378; M_2 = 2,27.$$

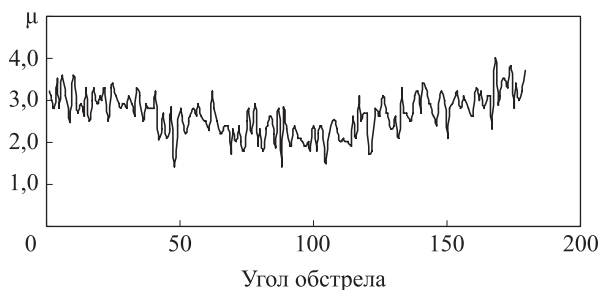
Для реализации метода Монте-Карло была написана программа, осуществляющая розыгрыш по нормальному закону точек попадания ракет в контур цели, расположенной под произвольным углом к направлению стрельбы. Координаты точек попадания рассчитывались по следующим формулам:

$$X = \mu_x + N(0,1)\sigma_x,$$

$$Y = \mu_y + N(0,1)\sigma_y.$$

Здесь  $\mu_x = \mu_y = 0$ ;  $N(0,1)$  — нормально распределенное случайное число с нулевым математическим ожиданием и единичным среднеквадратическим отклонением.

Далее подсчитывается количество попаданий в прямоугольник со сторонами  $a$  и  $b$ , ориентированный под различными углами относительно направлений рассеивания (угол изменяется в диапазоне  $0 \dots 180^\circ$ ). Для каждого из задаваемых, изменяющихся с шагом в  $1^\circ$  углов ориентирования прямоугольника, проводится по  $N$  реализаций метода, для поиска среднего числа попаданий  $\mu$  в цель. Зависимость среднего числа попаданий от угла обстрела цели приведена на рис. 2.



**Рис. 2.** Зависимость среднего числа попаданий от угла обстрела

Из полученной картины обстрела площадной цели очевидно, что при заданных вероятностных параметрах атаки и геометрических размерах цели наиболее эффективной является атака, предпринимаемая в направлении, совпадающем с направлением продольной оси цели, а наименее эффективной — в направлении, совпадающем с поперечной осью.

Результаты, полученные с использованием метода Монте-Карло при сравнительно небольшом количестве его реализаций ( $n = 10$ ), с высокой

степенью точности согласуются с результатами, полученными аналитически с использованием таблиц функций Лапласа. Например, при стрельбе по направлению продольной оси цели  $\mu_1 = 3,2$ ; при стрельбе по направлению поперечной оси  $\mu_2 = 2,3$ ; при стрельбе вдоль диагонали прямоугольника  $\mu_3 = 3$  (угол обстрела цели при этом составляет  $22^\circ$ ).

Таким образом, использование метода имитационного моделирования при исследовании общего случая обстрела площадной цели предпочтительнее аналитического метода, поскольку с меньшими трудозатратами позволяет решить поставленную задачу.

И, наконец, рассмотрим процесс имитации стрельбы из артиллерийского орудия.

Точность попадания — одна из важнейших характеристик создаваемых артиллерийских комплексов, поскольку количество средств, необходимое для выполнения боевой задачи, а также эффективность непосредственно зависят от характеристик рассеивания точек падения.

Рассеивание точек падения может быть определено расчетным или опытным путем. Естественно, что в процессе проектирования технических систем можно применять только расчетные методы, причем результаты вычислений являются составной частью экономической оценки системы в целом. Опытную обработку ввиду большой стоимости испытаний целесообразно сочетать с расчетными методами для контроля ряда характеристик комплекса.

Отклонение точки падения  $(x, z)$  от центра рассеивания вызывается случайными причинами, такими как разбросы начальных скоростей, углов бросания, масс, температур и проч.

Если известны законы распределения случайных величин, вызывающих рассеивание, и уравнения движения тела, с помощью компьютера можно получить действительные характеристики рассеивания.

При создании математической модели движения снаряда приняты следующие допущения:

- снаряд является материальной точкой, на которую действуют лишь силы тяжести и лобового сопротивления;

- снаряд движется в нормальной неподвижной атмосфере, которую характеризуют такие параметры, как:

- плотность воздуха у поверхности Земли  $\rho_{0N} = 1,206 \text{ кг/м}^3$ ;
- виртуальная температура у поверхности Земли  $\tau_{0N} = 288,9 \text{ К}$ ;
- давление у поверхности Земли  $p_{0N} = 0,99 \cdot 10^5 \text{ Па}$ ;
- скорость звука у поверхности Земли  $a_{0N} = 340,8 \text{ м/с}$ ;
- ускорение свободного падения  $g = 9,81 \text{ м/с}^2$ ;

– закон изменения виртуальной температуры с высотой:

$$\tau(y) = \begin{cases} 286,9 - 0,006328y & \text{при } y \geq 9\,300 \text{ м,} \\ 230 - 0,006328(y - 9\,300) + 0,000001172(y - 9\,300)^2 & \text{при } 9\,300 \text{ м} \leq y \leq 12\,000 \text{ м,} \\ 221,5 & \text{при } y > 12\,000 \text{ м;} \end{cases}$$

– кривизна Земли не учитывается;

– коэффициент формы не зависит от числа Маха (М).

С учетом этих допущений система уравнений движения примет вид

$$\frac{dV}{dt} = -g \sin \theta - J_x i_{43} c_{x43}(M) \Pi(y) M^2,$$

$$\frac{d\theta}{dt} = -g \frac{\cos \theta}{V},$$

$$\frac{dy}{dt} = V \sin \theta,$$

$$\frac{dx}{dt} = V \cos \theta,$$

$$\frac{d\Pi(y)}{dt} = -\frac{dy}{dt} \Pi(y) / RT(y),$$

$$z = x \rho_0 / \cos \theta_0,$$

где  $J_x = \frac{k p_{0N} \pi d^2}{8 m_0}$ ;  $M = \frac{V}{a}$ ;  $\Pi(y) = \frac{p(y)}{p_{0N}}$ ;  $k$  — показатель адиабаты

воздуха;  $i_{43}$  — коэффициент формы;  $a$  — скорость звука;  $c_{x43}(M)$  — закон сопротивления воздуха;  $V$  — скорость полета;  $\theta$  — текущий угол наклона траектории;  $x, y, z$  — координаты центра масс;  $\rho_0$  — угол вылета в боковом направлении;  $p(N)$  — атмосферное давление на высоте  $y$ ;  $R$  — газовая постоянная для воздуха.

Начальные значения случайных параметров, входящих в правые части уравнений, формируются с помощью датчика случайных чисел, распределенных по нормальному закону. Исходные данные для формирования последовательностей случайных чисел приведены в табл. 2.

Полученные таким образом случайные значения параметров вводятся как исходные данные для каждого расчета дальности и бокового

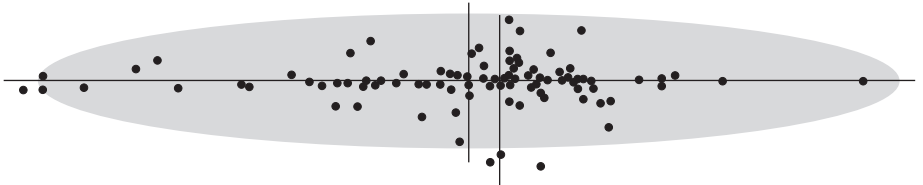
Таблица 2

**Исходные данные к модели полета снаряда**

Параметр	Размерность	Математическое ожидание	Среднее квадратическое отклонение
Начальная скорость	м/с	$V_0$	$\sigma_{V_0} = (0,3 - 0,6) \cdot 10^{-2} V_0$
Угол бросания	град	$\theta_0$	$\sigma_{\theta_0} = (0,1 - 0,2)$
Угол вылета в боковом направлении	град	0	$\sigma_{\rho_0} = (0,05 - 0,1)$
Коэффициент формы	—	$i_{43N}$	$\sigma_{i_{43}} = 0,01 i_{43N}$
Масса	кг	$m_0$	$\sigma_{m_0} = 0,001 m_0$

отклонения. Число реализаций модели и шаг интегрирования задаются из условия достижения требуемой точности.

На рис. 3 представлено рассеивание точек падения снарядов на картинной плоскости для одного из вариантов исходных данных.



**Рис. 3.** Рассеивание точек падения снарядов на картинной плоскости

В результате расчета получают координаты  $n$  точек падения. Один из вариантов результатов их обработки занесен в табл. 3.

Таблица 3

**Координаты точек попадания снарядов**

$\mu_X$	$\sigma_X$	$\mu_Z$	$\sigma_Z$	$r$	$\alpha$	$\sigma_\xi$	$\sigma_\eta$
3018 м	14,9 м	24,5 м	5,51 м	25,3 м <sup>2</sup>	7,620	15,1 м	5,2 м

Здесь  $\mu_X, \mu_Z$  — оценки математического ожидания координат точек падения;  $\sigma_X, \sigma_Z$  — оценки среднеквадратических отклонений координат точек падения;  $r$  — коэффициент корреляции;  $\alpha = 0,5 \arctg \frac{2 \text{cov}(X, Z)}{\sigma_X^2 \sigma_Z^2}$  — угол поворота главных осей рассеивания относительно осей  $OX$  и  $OY$ ;  $\sigma_\xi, \sigma_\eta$  — оценки среднеквадратических отклонений относительно главных осей рассеивания.

Если коэффициент корреляции  $r$  мал, можно считать, что системы случайных величин  $X$  и  $Z$  практически независимы, а главные оси рассеивания  $\xi$  и  $\eta$  параллельны осям координатной системы  $X, Z$ .

Дальнейшая обработка результатов эксперимента проводится обычным путем: принимается гипотеза о нормальности распределения координат точек рассеивания, по критериям согласия проводится подтверждение этой гипотезы и строится доверительный интервал для оценки математического ожидания точек падения.

## ЛИТЕРАТУРА

- [1] Адлер Ю.П., Маркова Е.В., Грановский Ю.В. *Планирование эксперимента при поиске оптимальных условий*. Москва, Наука, 1976, 279 с.
- [2] Шеннон Р. *Имитационное моделирование систем — искусство и наука*. Москва, Мир, 1978, 420 с.
- [3] Строгалев В.П., Толкачева И.О. *Имитационное моделирование*. Москва, Изд-во МГТУ им. Н.Э. Баумана, 2008, 280 с.

Статья поступила в редакцию 21.05.2013

Ссылку на эту статью просим оформлять следующим образом:

В.П. Строгалев, И.О. Толкачева. Решение прикладных технических задач методом имитационного моделирования. *Инженерный журнал: наука и инновации*, 2013, вып. 3. URL: <http://engjournal.ru/catalog/mathmodel/hidden/627.html>

**Строгалев Валерий Петрович** родился в 1943 г., окончил МВТУ им. Н.Э. Баумана в 1966 г. Д-р техн. наук, проф. кафедры «Ракетные и импульсные системы» МГТУ им. Н.Э. Баумана. Автор более 150 научных работ в области моделирования и проектирования. e-mail: [strogal@yandex.ru](mailto:strogal@yandex.ru).

**Толкачева Ирина Олеговна** родилась в 1950 г., окончила МВТУ им. Н.Э. Баумана в 1974 г. Канд. техн. наук, доц. кафедры «Ракетные и импульсные системы» МГТУ им. Н.Э. Баумана. Автор более 100 научных работ в области моделирования и проектирования.